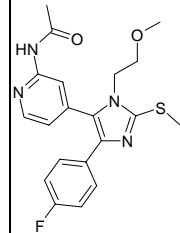
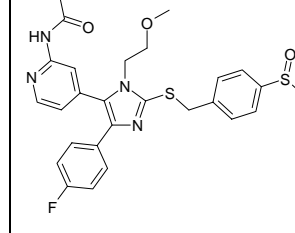
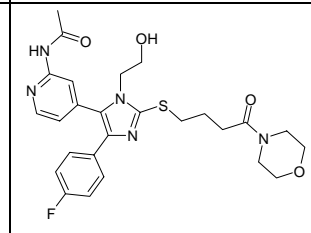
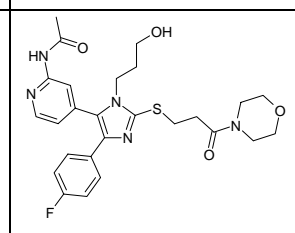
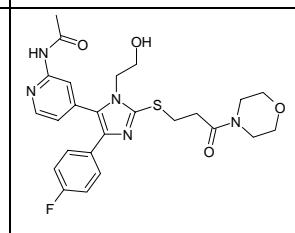
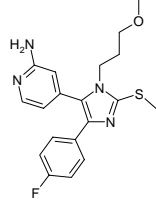
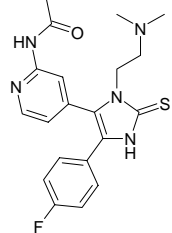
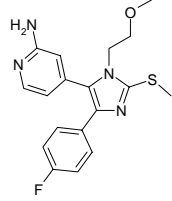
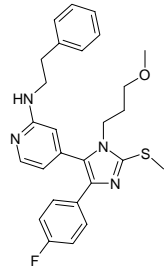
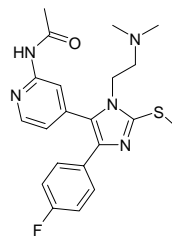
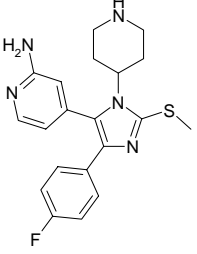
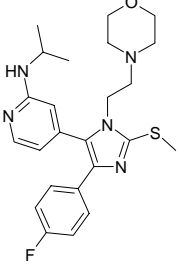
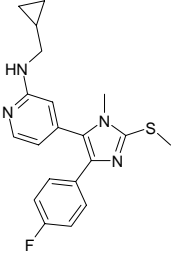
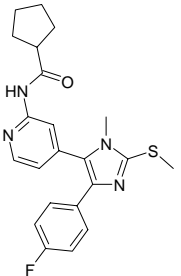
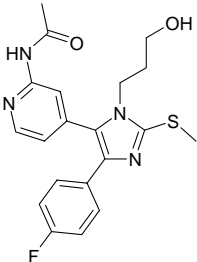


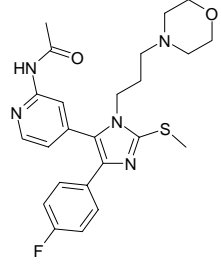
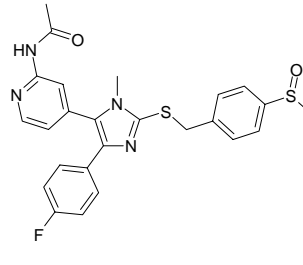
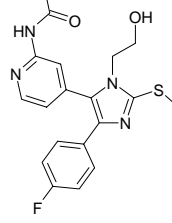
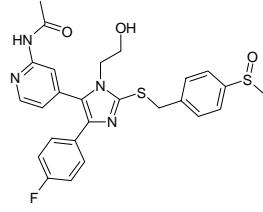
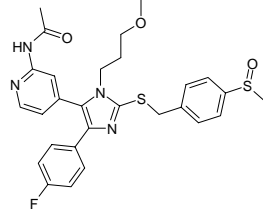
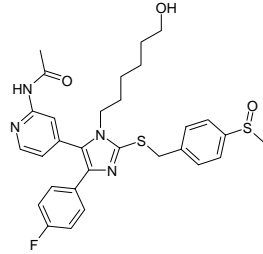
## ANEXO 1

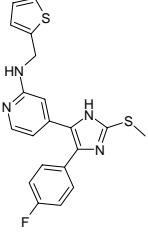
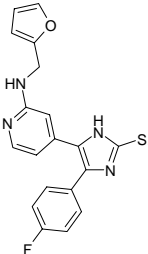
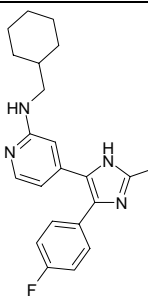
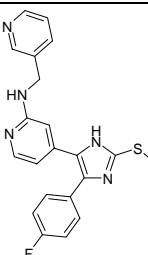
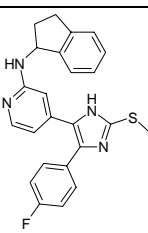
Tabla con estructuras bidimensionales de los ligandos empleados en el estudio y su valor de  $pIC_{50}$

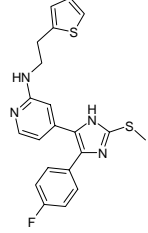
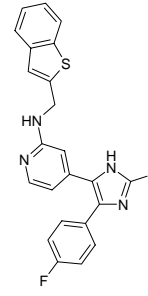
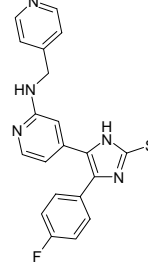
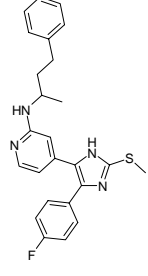
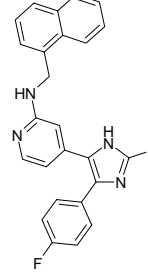
Nombre (ID)	$pIC_{50}$	Estructura
L01	6.76	
L02	7.003	
L03	5.83	
L04	5.241	
L05	5.746	

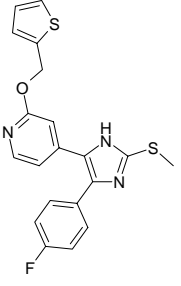
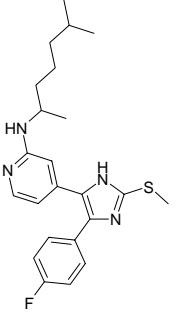
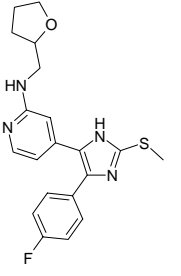
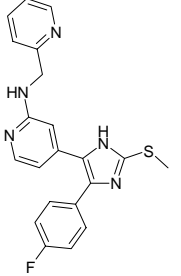
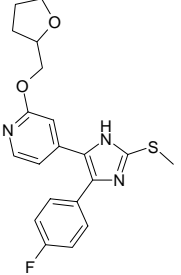
L06		 <p>5.66</p>
L07		 <p>5.44</p>
L08		 <p>7.190</p>
L09		 <p>5.938</p>
L10		 <p>5.051</p>

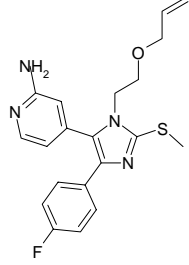
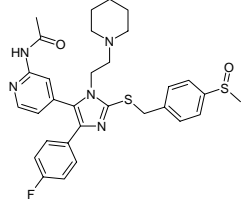
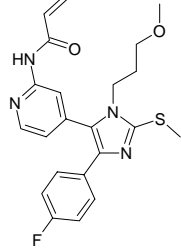
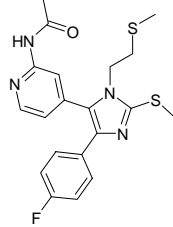
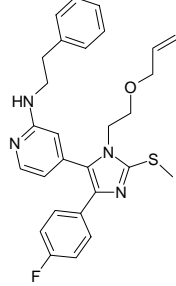
L11	5.817	
L12	6.745	
L13	5.879	
L14	6.388	
L15	5.448	

L16		 <p>5.509</p>
L17		 <p>5.782</p>
L18		 <p>6.482</p>
L19		 <p>5.723</p>
L20		 <p>5.96</p>
L21		 <p>6.892</p>

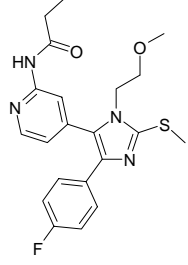
L22		 <p>7.029</p>
L23		 <p>6.807</p>
L24		 <p>6.742</p>
L25		 <p>6.654</p>
L26		 <p>7.11</p>

L27		
	7.12	
L28		
	6.086	
L29		
	6.427	
L30		
	7.441	
L31		
	6.486	

L32	6.181	
L33	7.448	
L34	7.374	
L35	7.084	
L36	6.278	

L37	5.641	
L38	5.758	
L39	6.609	
L40	6.209	
L41	6.842	



L42	5.929	
L43	5.47	